

(1988. 5. 27)

# 点集合の正方格子度を求めるアルゴリズム

## An Algorithm for Fitting a Perfect Grid to a Set of Points

炭野重雄\*

Shigeo SUMINO

今井 浩\*

Hiroshi IMAI

内藤史門†

Simon NAITO

\* 九州大学工学部情報工学科

Department of Computer Science  
and Communication Engineering,  
Kyushu University, Fukuoka 812, Japan

+富士電機株式会社

Fuji Electric Co. Ltd.  
Hino, Tokyo 191, Japan

あらまし ピングリッドアレイ型 L S I の位置決め問題に関連して、ほぼ正方格子点上に並んだ  $N$  個の点の集合を、与えられた一定間隔の正確な正方格子ができるだけ良く当てはめる問題がある。本論文では、正方格子を回転・平行移動することによって、点集合の各点と対応する各正方格子点との距離の最大値を最小にする問題を考える。その際の距離の最大値と正方格子の間隔から、その点集合の配列が正方格子にどの程度近いかを示す尺度である正方格子度を定義し、それを  $O(N \log N)$  の手間で求めるアルゴリズムを与える。

**Abstract:** In connection with the problem of setting a pin-grid-array type LSI to a printed board automatically, there arises a problem of fitting a perfect grid to a set of  $N$  distorted grid points. This paper considers such a fitting problem that locates the perfect grid of a given interval to the set of distorted points by rotation and translation with minimizing the maximum distance between each point in the set and its corresponding grid point. Here, the distance between a point and its corresponding grid point is defined not to better Euclidean distance but to be the maximum of the distances from the point to two grid lines intersecting at the grid point. This problem then corresponds to the LSI attachment problem now widely used such that patterns on the printed board are squares arranged according to the grid. We propose an  $O(N \log N)$ -time algorithm for this problem. This algorithm partly makes use of Davenport-Schinzel sequence of degree two.

### 1. まえがき

現在、自動車産業などの工業界で盛んに産業用ロボットが使用されている。しかし、ロボットと言っても一般の人が漠然とイメージしている様な自分自身で思考し行動するようなものではなく、ただ単に自動制御技術の延長である場合が多い。

言い替えれば、産業ロボットは、ある決められたところに部品を決められた動作で機械的に配置し（この操作を位置決めと呼ぶ），それに対してある定められた操作をする、といったような完全に決められたことのみを処理する装置である。そのために、何らかの原因で部品が正確に位置決めされないというような故障が生じると、定められた操作ができない、といったようなことも生じかねない。

特に、L S I などの超微細な部品を基板上に実装す

るようなものに対しては、より精密さを要求されるので、定型的な機械的位置決めによるだけでなく、視覚センサを補正機能として用いたことが、より正確な位置決めのために有効である（内藤[3]）。このとき、視覚センサが付加されることによって、センサから得た視覚的な情報を精密かつ効率よく処理することが問題になる。この問題で、センサよりの視覚情報は幾何的な情報であり、その処理のためには幾何情報の高速処理アルゴリズムを研究する分野である計算幾何学が有用であると思われる。本論文では、このような立場から L S I の位置決め問題に対するアルゴリズムを与える。

この視覚センサを有する位置決め装置の考え方に基づき、内藤らはピンが正方格子状に並んだピングリッドアレイ型の L S I （直観的には、ピンが正方形のセ

ラミックパッケージの一面に剣山のように植え付けられたLSI)を、対応する基板上に実装する位置決め装置(LSIマウンタ)を開発している[3,4,5]。この場合のLSIの位置決めの基準としては、まず、視覚センサから得たピンの一一番外側の縦横の列に対して、直交する2本の直線を最小2乗法で近似し、その2直線をもとにピンの外形の正方形を構成する。次に、その構成した正方形と基板上のパターン列の外形の正方形を一致させ、位置決めの基準にするという方法を用いている。また、そのピンの外形の正方形から正方格子を計算し、その構成した正方格子点とピンとの距離からピンがどの程度正方格子点の近傍に存在するか具合の善し悪しを求める方法を示している。しかし、ピンの外形の正方形を構成する際に内部の点は全く考慮されていないという欠点を持っている。

本論文では、この位置決め問題に関連して、ピングリッドアレイ型LSIのピンをほぼ正方格子状に並んだN個の点集合とみなし、そのN点集合が与えられた間隔から構成される正方格子の格子点との程度の近傍に存在するかを示す尺度である正方格子度を定義し、それをO(N log N)の手間で求めるアルゴリズムを示す。

この点集合の正方格子度を求める問題は、パターン認識などでの典型的な問題である対応の与えられた2つの点集合間の最適マッチングを求める問題の特殊な場合とみなせ、この特殊な場合の最適解が効率よく求められることを示した点からも、本稿のアルゴリズムは意義があると思われる。

## 2. 点集合の正方格子度の定義

ほぼ正方格子点の近傍に与えられたN個の点集合Sに対して、与えられた間隔Lの正方格子を構成する直線群を考える。ただし、Sの各点と各正方格子点には対応付けがなされているとする。LSIの位置決め問題では、ピンを基板上の指定されたパターンに装着しなければならないので、この仮定は満たされている。

また、Sの各点とそれに対応する格子点との距離は、Euclid距離ではなく、点と対応する格子点を構成している直交する2直線を考え、その2直線への垂線の長さのうち大きい方と定める。実際のLSIの表面実装では、パターンは正方格子上に置かれた正方形の配列であり、従ってその場合にはこのように距離を定義することがまさしく現実問題に対応している(図1)。

点集合Sの正方格子度Gは、Sの各点と対応する正方格子点との距離の最大値を、正方格子を平行・回転移動することによって最小化し、その最小化した際の距離の最大値εの2倍を間隔Lで割ったもの、すなわ

ち $G = 2\epsilon/L$ で定義する。(論文[2]では正方格子度を $G = \epsilon/L$ と定義していたが、ここでの定義に従つた方が $G = 1$ の場合の意味が下記のように明瞭になるので以降この様に定義する。)

Sの全点が与えられた正方格子点に完全に一致する場合、 $G = 0$ になる。また、Sに対応するパターンの正方形が重ならず、かつ隙間なく並んだ場合、 $G = 1$ になる。

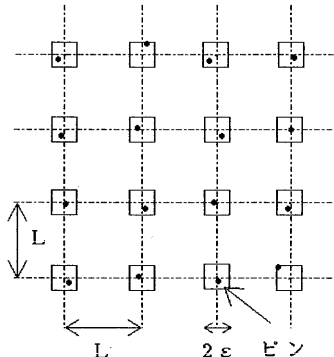


図 1. 正方格子とパターンの配置

## 3. 点集合の正方格子度を求めるアルゴリズムの概略

与えられた点集合Sに対して定義を行う。

**【定義】** 与えられたほぼ正方格子点の近傍に存在する点集合Sを、

$S = \{p_{ij}\}_{i=1, \dots, m, j=1, \dots, n}$   
 $= \{(x_{ij}, y_{ij})\}_{i=1, \dots, m, j=1, \dots, n}$ ,  
(ただし、 $p_{ij}$ は、間隔Lの正方格子直線群のi行j列の2直線の交点に対応している。 $N = m n$ )  
また、Sを構成するj列、i行の複数の点列を、  
 $A_j = \{(x_{ij}, y_{ij})\}_{i=1, \dots, m} \quad (j=1, \dots, n)$ ,  
 $B_i = \{(x_{ij}, y_{ij})\}_{j=1, \dots, n} \quad (i=1, \dots, m)$ ,  
とし、直交座標系x軸、y軸を原点に関して $\theta$ ( $0 \leq \theta < 2\pi$ )だけ回転した座標系を各々、 $x(\theta)$ 軸、  
 $y(\theta)$ 軸、 $p_{ij}$ の回転座標値を

$$p_{ij}(\theta) = (x_{ij}(\theta), y_{ij}(\theta))$$

$$(すなわち, x_{ij}(\theta) = x_{ij} \cos \theta + y_{ij} \sin \theta, \\ y_{ij}(\theta) = -x_{ij} \sin \theta + y_{ij} \cos \theta)$$

とする。(図2参照) □

まず、3.1において、 $B_i$ の点列だけに対して、その複数点列がどの程度平行であるかを表す平行度を定義し、それを求める方法を与える。次に、3.2において、3.1の結果を利用して、ほぼ直交する $A_j$ と $B_i$ の複数の点列、すなわちSの正方格子度を求めるアルゴリズムを示す。

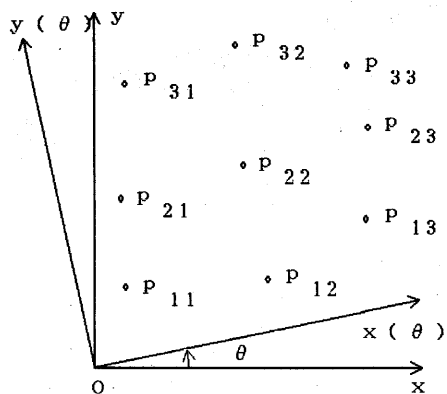


図 2. 点集合  $S$  に対する定義

### 3.1 複数点列の平行度を求めるアルゴリズム

ほぼ平行直線群の近傍に存在する  $m$  個の点列  $B_i$  と、それに対応する与えられた一定間隔  $L$  で配置された  $m$  本の平行直線が与えられたとする。このとき、ある点列の点とその点列に対応する直線の距離を、点からその直線に下ろした垂線の長さと定める。その  $m$  個の点列に対して、ある 1 つの点列の各点とその点列に対応する直線との距離の最大値を求める。その最大値は各点列に対して存在するので  $m$  個存在するがその内の最大値を、平行直線群を平行・回転移動することによって最小化し、その最小化した際の距離の最大値  $\delta$  の 2 倍を  $L$  で割ったものを、その複数点列の平行度  $P$  と定義する。

この場合、 $B_i$  に対応する直線群は一定間隔  $L$  で配置されているので、 $m$  本の平行直線は適当な  $y(\theta)$  軸上の座標  $(0, Y)$  と角度  $\theta$  を用いて、 $y(\theta) = Y + (i - 1)L$  で表すことができる。

また、 $i$  と  $\theta$  を固定したとき、 $B_i$  の各点と  $B_j$  に対応する直線との距離の最大値を考えると、その最大値を与える可能性があるものは、少なくとも  $y(\theta)$  軸上で  $B_i$  の最大値・最小値を与える点と、 $B_j$  に対応する直線すなわち直線  $y(\theta) = Y + (j - 1)L$  との距離のうちで大きい方である。

$\theta$  を固定したときの  $y(\theta)$  軸上での  $B_i$  の最大値・最小値を与える点は、各々次のような式で表せる。

$$(B_i \text{ の最大値を与える点}) = \max_{1 \leq j \leq n} \{y_{ij}(\theta)\}$$

$$(B_i \text{ の最小値を与える点}) = \min_{1 \leq j \leq n} \{y_{ij}(\theta)\}$$

よって、ある固定された  $\theta$  に対して、 $i$  が 1 から  $m$  まで変化したとき、 $B_i$  と  $B_j$  に対応する直線との距離の最大値は、

$$Y_{\max, i}(\theta, Y) \equiv \max_{1 \leq j \leq n} \{y_{ij}(\theta)\} \\ = \{Y + (i - 1)L\}$$

$$Y_{\min, i}(\theta, Y) \equiv \{Y + (i - 1)L\} \\ - \min_{1 \leq j \leq n} \{y_{ij}(\theta)\}$$

とする（図 3）と、次のような式  $f_y(\theta, Y)$  で表せる。

$$f_y(\theta, Y) = \max_{1 \leq i \leq m} [Y_{\max, i}(\theta, Y), \\ Y_{\min, i}(\theta, Y)]$$

上記の  $Y_{\max, i}(\theta, Y)$  と  $Y_{\min, i}(\theta, Y)$  で、本来の距離の定義から付けるべきの絶対値を付けていないのは、全ての  $i$  に対して、

$$\max \{y_{ij}(\theta)\} \geq \min \{y_{ij}(\theta)\}$$

であるから、2 つの式の和をとると、

$$Y_{\max, i}(\theta, Y) + Y_{\min, i}(\theta, Y) \geq 0$$

と変形でき、この式より

$$Y_{\max, i}(\theta, Y) < 0 \quad \text{かつ} \quad Y_{\min, i}(\theta, Y) < 0$$

が成立することはない。また、 $f_y(\theta, Y)$  は  $i$  を固定して  $Y_{\max, i}(\theta, Y)$  と  $Y_{\min, i}(\theta, Y)$  の大きい方を判定し、その判定された結果の  $m$  個のものの内の最大値をとる関数と解釈できる。以上より、その大小の判定の段階で負のものは振り落とされてしまい、絶対値を付ける必要がない。

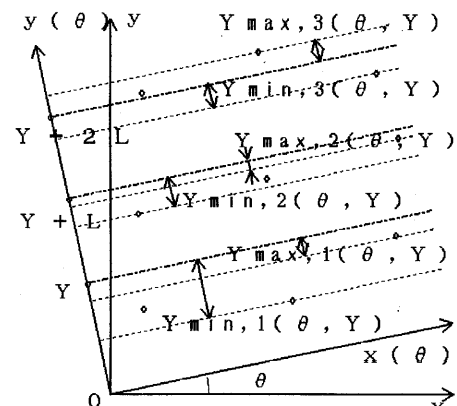


図 3.  $Y_{\max, i}(\theta, Y)$ ,  $Y_{\min, i}(\theta, Y)$

$f_y(\theta, Y)$  を最小化することを考えると、 $\theta$  と  $Y$  を同時に動かして最小化すると議論が複雑になるが、まず  $\theta$  を固定して  $f_y(\theta, Y)$  を  $Y$  に関して最小化し、その後の最小化した値を  $\theta$  の関数と見なしして  $\theta$  に関して最小化することを考えると見通しがよい。そこで、

$\theta$  を固定して  $Y$  に関する最小化を試みる。

$f_y(\theta, Y)$  から  $Y$  と独立な部分を抜き出し,

$$Y_{ij}(\theta) \equiv y_{ij}(\theta) - (i-1)L,$$

$$Y_{\max}(\theta) \equiv \max_{1 \leq i \leq m, 1 \leq j \leq n} \{Y_{ij}(\theta)\},$$

$$Y_{\min}(\theta) \equiv \min_{1 \leq i \leq m, 1 \leq j \leq n} \{Y_{ij}(\theta)\},$$

とおくと,

$$f_y(\theta, Y) = \max [Y_{\max}(\theta) - Y, Y - Y_{\min}(\theta)]$$

となる。この  $f_y(\theta, Y)$  を固定した  $\theta$  に対して、 $Y$  に関して最小化することは容易で、

$$Y = (Y_{\max}(\theta) + Y_{\min}(\theta)) / 2$$

のとき最小値（これを以降  $g_y(\theta)$  で表す）をとる：

$$g_y(\theta) = (Y_{\max}(\theta) - Y_{\min}(\theta)) / 2$$

この  $g_y(\theta)$  の導出過程は、点列  $B_i$  を直線  $y(\theta) = Y + (i-1)L$  で近似するという観点からではなく、 $B_i$  の各点を  $y(\theta)$  軸の方向に  $-(i-1)L$  だけ平行移動させて、それに対応する平行直線群を全て一致させる観点から見直すこともできる。（図4）

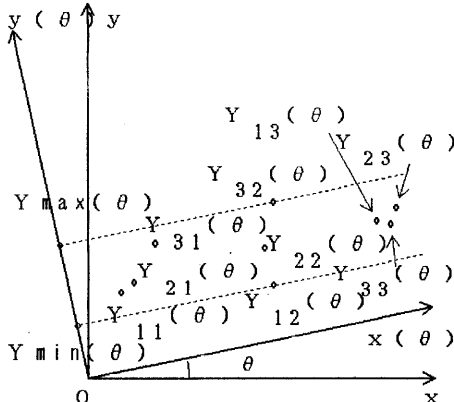


図 4.  $Y_{\max}(\theta), Y_{\min}(\theta)$

この複数点列  $B_i$  の平行度  $P$  は、 $g_y(\theta)$  を  $\theta$  に関して最小化した値を  $\delta$  をすると、 $P = 2\delta/L$  になる。

### 3.2 点集合に対する正方格子度を求めるアルゴリズム

3.1 の考察を  $y(\theta)$  軸に対する  $B_i$  についてだけでなく、 $x(\theta)$  軸に対する  $A_j$  についても含めて拡張する。この場合、点と正方格子点の距離は、点から対応する格子点を構成している直交する 2 直線への垂線の長さ

の内で大きい方であるから、 $\theta$  を固定した下での正方格子の  $x(\theta)$ 、 $y(\theta)$  軸各々の方向の平行移動は独立に扱え、その固定した  $\theta$  に対する  $S$  の各点と対応する格子点との距離の最大値  $g(\theta)$  は、 $x(\theta)$  軸に対する  $n$  個の点列  $A_j$  からなる関数  $g_x(\theta)$  と  $y(\theta)$  軸に対する  $m$  個の点列  $B_i$  からなる関数  $g_y(\theta)$  のどちらか大きい方になる。

ここで  $g_x(\theta)$  は  $g_y(\theta)$  と同様に表せ、

$$X_{ij}(\theta) \equiv x_{ij}(\theta) - (j-1)L,$$

$$X_{\max}(\theta) \equiv \max_{1 \leq i \leq m, 1 \leq j \leq n} \{X_{ij}(\theta)\},$$

$$X_{\min}(\theta) \equiv \min_{1 \leq i \leq m, 1 \leq j \leq n} \{X_{ij}(\theta)\},$$

とおくと（図5），

$$g_x(\theta) = (X_{\max}(\theta) - X_{\min}(\theta)) / 2$$

となる。このとき  $g(\theta)$  は次の式で表せる。

$$g(\theta) = \max [g_x(\theta), g_y(\theta)]$$

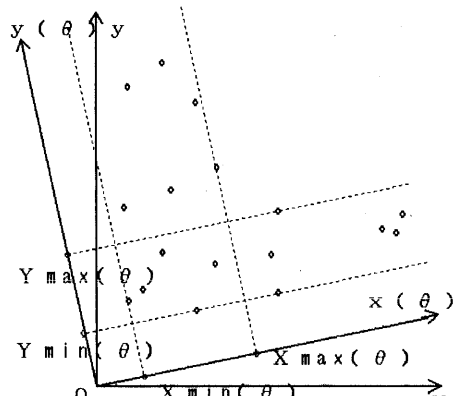


図 5.  $X_{\max}(\theta), X_{\min}(\theta), Y_{\max}(\theta), Y_{\min}(\theta)$

この点集合  $S$  に対する正方格子度  $G$  は、 $g(\theta)$  を  $\theta$  に関して最小化した値を  $\varepsilon$  とすると、 $G = 2\varepsilon/L$  となる。以下で  $g(\theta)$  の  $\theta$  に関する最小化問題を考える。

### 4. 点集合の正方格子度を求めるアルゴリズムの詳細とその解析

点集合の正方格子度を求めるアルゴリズムの計算複雑度、すなわち関数  $g(\theta)$  の最小化の計算複雑度を示すために、4.1において、 $\theta$  の関数  $X_{\max}(\theta)$ 、 $X_{\min}(\theta)$ 、 $Y_{\max}(\theta)$ 、 $Y_{\min}(\theta)$  を求めるアルゴリズムとその計算複雑度を示し、4.2において、その結果を用いて関数  $g(\theta)$  の最小化の計算複雑度を示す。

4.1 関数  $X_{\max}(\theta)$ ,  $X_{\min}(\theta)$ ,  $Y_{\max}(\theta)$ ,  $Y_{\min}(\theta)$ を求めるアルゴリズムとその計算複雑度

$X$ ,  $Y$  および  $\max$ ,  $\min$  は対称であるので,  
 $X_{\max}(\theta)$  が求められれば、そのアルゴリズムを  $X$  を  $Y$  に、 $\max$  を  $\min$  に置き換えることによって、他の 3 つにそのまま利用できる。

$X_{\max}(\theta)$  は、  $N$  個の関数  $X_{ij}(\theta)$  の最大値を与える関数である（図 6 参照）ので、  $X_{\max}(\theta)$  を求めるには、定義域  $[0, 2\pi]$  の各部分区間ににおいて、  $i, j$  が変化したときの  $N$  個の  $X_{ij}(\theta)$  のうちで最大値を与えるある 1 つの関数を求めて、その部分区間とその区間に対応する関数をリストに格納することによって実現できる。このとき、隣接する部分区間にいて対応する関数が同じなら、それらを併合することによって、更に簡潔な表現が得られるので、隣接する部分区間では対応する関数は異なるものとする。また、長さ 0 の部分区間はないものとする。

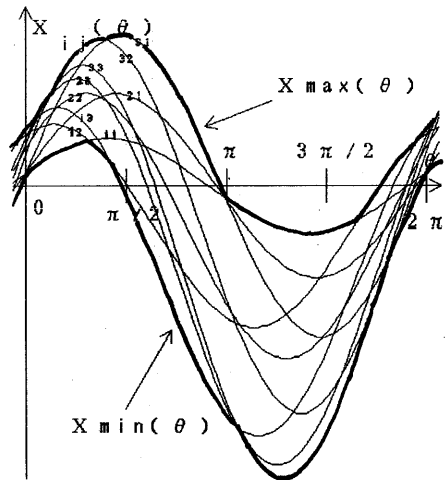


図 6.  $X_{\max}(\theta)$ ,  $X_{\min}(\theta)$  のグラフ  
 (ただし、グラフ内の 2 桁の数字は  $X_{ij}(\theta)$  の  $i, j$  を表している)

このような  $N$  個の関数の集合に対してそれらの最大値（最小値）をとる関数を求める問題は、最近、計算幾何学の分野において、Davenport-Schinzel 列との関連で活発に研究されている（例えば、Hart, Sharir [1] 参照）。このような場合、 $N$  個の関数の最大値をとる関数を、上述のように定義域を部分区間に分解し、各部分区間で最大値を与えていたる元の関数が 1 つ定まるようにして表現したときの必要となる部分区間の数が問題となる。

$X_{\max}(\theta) = \max \{X_{ij}(\theta)\}$  については、異なる  $X_{ij}(\theta)$ ,  $X_{kh}(\theta)$  (ただし,  $(i, j) \neq (k, h)$ ) の関数は、次式より定義域  $[0, 2\pi]$  において高々 2 回しか交わらない。

よって、このような条件での問題は、2次の  
Davenport-Schinzel列の問題として扱えり、この場合  
は容易に必要となる部分区間の数が高々  $2N - 1$  個で  
あることがわかる（例えば、Hart, Sharir[1]参照）。

このような条件を満たす関数は分割統治法により、 $O(N \log N)$ の手間で求められることが知られている。本稿では、 $g(\theta)$ ,  $g_x(\theta)$ ,  $g_y(\theta)$ を求めるときに同様な手間が必要となるので、この分割統治法のアルゴリズムを詳しく述べておく。

分割統治法のアルゴリズムは次のように表せる。

## アルゴリズム 1

- 1° N 個の  $\theta$  の関数  $X_{ij}(\theta)$  の集合 F を、 ほぼ  $N/2$  個ずつの 2 つの集合  $F_1, F_2$  に分割する;
  - 2° 集合  $F_1, F_2$  各々に対して再帰的にアルゴリズムを適用し、 各々の各部分区間とその区間で最大値を与える関数から構成される関数  $f_1, f_2$  を求める;
  - 3° 2 つの関数  $f_1$  と  $f_2$  の最大値をとる関数  $f$  を求める;

以下では、STEP 3において、2つの関数  $f_1$  と  $f_2$  をマージして関数  $f$  を求める手法とその手間について述べる。 $f_1$  のソートされた部分区間のリストを  
 $[θ_{1,1}, θ_{1,2}), \dots, [θ_{1,r}, θ_{1,r+1}), \dots,$   
 その各区間において対応する最大値を与える関数を  
 $f_{1,1}, \dots, f_{1,r}, \dots$ 、また同様に、 $f_2$  のソートされた部分区間のリストを  $[θ_{2,1}, θ_{2,2}), \dots,$   
 $[θ_{2,s}, θ_{2,s+1}), \dots$ 、その各区間において対応する最大値を与える関数を  $f_{2,1}, \dots, f_{2,s}, \dots$ 、として  
 与えられたとする。ここで、 $[θ_{1,r}, θ_{1,r+1})$  と  
 $[θ_{2,s}, θ_{2,s+1})$  に着目して、この2つの部分区間がマージされて  $f$  の部分区間にになるとすると、2つの部分区間にに対して次の2つの場合が考えられる。

1) 2つの部分区間の境界値が交互に値をとる場合、すなわち、

- (a)  $\theta_{1,r} < \theta_{2,s} < \theta_{1,r+1} < \theta_{2,s+1}$  の場合,  
(b)  $\theta_{2,s} < \theta_{1,r} < \theta_{2,s+1} < \theta_{1,r+1}$  の場合,
- 2) どちらかの部分区間が一方の区間に含まれてしまう場合, すなわち,  
(a)  $\theta_{1,r} \leq \theta_{2,s} < \theta_{2,s+1} \leq \theta_{1,r+1}$  の場合,  
(b)  $\theta_{2,s} \leq \theta_{1,r} < \theta_{1,r+1} \leq \theta_{2,s+1}$  の場合,

が考えられる。

1) の場合, 一般にその 2 つの区間に対応する関数  $f_{1,r}$  と  $f_{2,s}$  は高々 2 回しか交わらない。よって, 交点の計算をし, その交点の  $\theta$  座標を  $\theta_{rs1}$ ,  $\theta_{rs2}$  とする (ただし,  $\theta_{rs1} \leq \theta_{rs2}$ ) と, マージされて更に細分化した  $f$  の部分区間は,

- (a) のとき  $[\theta_{2,s}, \theta_{rs1}], [\theta_{rs1}, \theta_{rs2}], [\theta_{rs2}, \theta_{1,r+1}]$ ,  
(b) のとき  $[\theta_{1,r}, \theta_{rs1}], [\theta_{rs1}, \theta_{rs2}], [\theta_{rs2}, \theta_{2,s+1}]$  になる。

また, 交点がない場合の  $f$  の部分区間は,

- (a) のとき  $[\theta_{2,s}, \theta_{1,r+1}]$ ,  
(b) のとき  $[\theta_{1,r}, \theta_{2,s+1}]$  になる。

その各部分区間において最大値を与える関数を求め, その部分区間と共に  $f$  のリストに格納する。この操作は, その新しく細分化された部分区間の数 (定数でおさえらえる) に比例する手間でできる。

2) の場合, 同様に  $f_{1,r}$  と  $f_{2,s}$  は高々 2 回しか交わらない。よって, 同様に交点の計算をし, その交点の  $\theta$  座標を  $\theta_{rs1}$ ,  $\theta_{rs2}$  とすると, マージされて更に細分化した部分区間は,

- (a) のとき  $[\theta_{2,s}, \theta_{rs1}], [\theta_{rs1}, \theta_{rs2}], [\theta_{rs2}, \theta_{2,s+1}]$ ,  
(b) のとき  $[\theta_{1,r}, \theta_{rs1}], [\theta_{rs1}, \theta_{rs2}], [\theta_{rs2}, \theta_{1,r+1}]$  になる。

また, 交点がない場合の  $f$  の部分区間は,

- (a) のとき  $[\theta_{2,s}, \theta_{2,s+1}]$ ,  
(b) のとき  $[\theta_{1,r}, \theta_{1,r+1}]$  になる。

その各部分区間において最大値を与える関数を求め, その部分区間と共に  $f$  のリストに格納する。この操作もその新しく細分化された部分区間の数に比例する手間でできる。

2 つの関数  $f_{1,r}$  と  $f_{2,s}$  の交点の  $\theta$  座標  $\theta_{rs}$  と, その前後の部分区間における最大値を与える関数を求めるには,  $f_{1,r} = X_{ij}(\theta)$  と  $f_{2,s} = X_{kh}(\theta)$ ,  $\theta_{rs} = \theta_{ij,kh}$  とすると,  $\theta_{ij,kh}$  は①式を変形して次の式から求められる (ただし,  $(i,j) \neq (k,h)$ ).

$$\theta_{ij,kh} = \sin^{-1} [(j-h)L/R] - \alpha$$

また, その交点の値  $\theta_{ij,kh}$  に対して, その  $\theta$  の値を

微小変化させたときの 2 つの関数の関数値の大小を比較することにより,  $\theta_{ij,kh}$  を境界値とする前後の部分区間における最大値を与える関数を求めることができる。

交点がない場合にも, 新しく細分化された部分区間内のある  $\theta$  の値をその区間に対応する 2 つの関数に代入し, その関数値の大小を比較することによって容易にその部分区間に対応する最大値を与える関数を求めることができる。

よって, STEP 3 は部分区間の数の合計に比例する  $O(N)$  の線形の手間で求められる。

分割統治法の考え方に基づき, STEP 1 で関数の集合  $F$  をほぼ 2 分割していることから, アルゴリズム 1 の手間は全体で  $O(N \log N)$  になる。

以上の議論より,  $X_{\min}(\theta)$ ,  $Y_{\max}(\theta)$ ,  $Y_{\min}(\theta)$  も同様の操作によって,  $O(N \log N)$  の手間で求められる (図 7)。

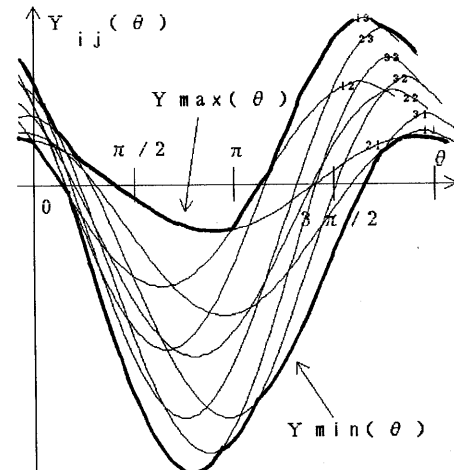


図 7.  $Y_{\max}(\theta)$ ,  $Y_{\min}(\theta)$  のグラフ  
(ただし, グラフ内の 2 桁の数字は  $Y_{ij}(\theta)$  の  $i, j$  を表している)

#### 4.2 関数 $g(\theta)$ の最小化の計算複雑度

前項で示した  $X_{\max}(\theta)$ ,  $X_{\min}(\theta)$ ,  $Y_{\max}(\theta)$ ,  $Y_{\min}(\theta)$  を  $O(N \log N)$  の手間で求めるアルゴリズムを用いて, 以下では  $g_x(\theta)$ ,  $g_y(\theta)$  を求める手法を示す。ただし,  $x$  と  $y$  は対称であるので, 以下は  $g_x(\theta)$  を求める手法のみ示す。

すでに  $X_{\max}(\theta)$  と  $X_{\min}(\theta)$  を表すソートされた部分区間とその部分区間に対応する関数の 2 つリストは与えられているとする。

$$g_x(\theta) = (X_{\max}(\theta) - X_{\min}(\theta)) / 2$$

であるから、2つのソートされた部分区間をマージし、更に細分化された  $g_x(\theta)$  のある部分区間において、 $X_{\max}(\theta)$  を表すある1つの関数  $X_{ij}(\theta)$  と  $X_{\min}(\theta)$  を表すある1つの関数  $X_{kh}(\theta)$  との差を2等分することによって実現できる。この操作は、4.1で議論したと同様に部分区間の総数の手間、すなわち  $O(N)$  の線形の手間で求められる。

よって、同様にして  $g_y(\theta)$  も  $O(N)$  の線形の手間で求められる。

$g(\theta)$  は上記のようにして求めた  $g_x(\theta)$  と  $g_y(\theta)$  の内で最大値を与える関数であるので、アルゴリズム1のSTEP3での手法をそのまま用いることができる。すなわち、 $g_x(\theta)$  を表すソートされた部分区間のリストと  $g_y(\theta)$  を表すソートされた部分区間のリストをマージし、その細分化された  $g(\theta)$  の部分区間で最大値を与える関数を求めるこによって表現できる。ここで、マージされる  $g_x(\theta)$  のある1つの部分区間と  $g_y(\theta)$  のある1つの部分区間において、各々の区間に対応する2つの関数の交わる回数を考えると、 $g_x(\theta)$  のある1つの部分区間に対応する関数は、上記で示したように  $X_{\max}(\theta)$  を表すある1つの関数  $X_{ij}(\theta)$  と  $X_{\min}(\theta)$  を表すある1つの関数  $X_{kh}(\theta)$  との差を2等分したものであるので、①式を用いて変形でき、正弦関数に定数を足したものになる。同様に、 $g_y(\theta)$  のある1つの部分区間に対応する関数も正弦関数に定数を足したものになる。よって、マージされる2つの区間に対応する関数の交点の数は、高々2回であり、これより定義域  $[0, 2\pi]$  において  $g_x(\theta)$  と  $g_y(\theta)$  が交わる回数の総数は  $O(N)$  回になる。また、それによって細分化された  $g(\theta)$  の部分区間の総数は  $O(N)$  個である。よって、前項と同様にして  $g(\theta)$  も部分区間の総数である  $O(N)$  の線形の手間で求められる。

$g(\theta)$  を  $\theta$  に関して最小化する際、その  $\theta$  に関して、次の2つの場合が考えられる。

- 1) その  $\theta$  がある部分区間の境界値である場合、
- 2) その  $\theta$  がある部分区間に対応する関数の最小値である場合、

が考えられる。

- 1) の場合、部分区間の総数は  $O(N)$  個存在するので、その境界値の総数も  $O(N)$  個存在する。よって、 $g(\theta)$  を  $\theta$  に関して最小化する手間は  $O(N)$  である。
- 2) の場合も、1) の場合と同様に部分区間の総数は  $O(N)$  個存在し、その部分区間に対応する関数の総数も  $O(N)$  個存在する。ある部分区間に対応する関数は正弦

関数に定数を足したものであるので容易にこの条件をチェックすることができる。よって、 $g(\theta)$  を  $\theta$  に関して最小化する手間は  $O(N)$  である。

以上より、次の定理を得る。

**【定理】**  $N$  点からなる点集合の正方格子度は、 $O(N \log N)$  の手間で求められる。□

## 5. 実際の計算時間の短縮についての考察

本章では、実際に  $g(\theta)$  を最小化する際の計算時間の短縮について考察してみる。

実際の計算時間を短縮する方法として、次の2つが考えられる。

- 1) 点集合  $S$  からある条件のもとで点を間引きして、その間引きされた点集合  $S'$  に対して  $g(\theta)$  を構成し、それを最小化する方法、
- 2) ある方法を用いて、 $g(\theta)$  を最小化する  $\theta$  の探索範囲を制限する方法、

が考えられる。

1) の場合、3.1の  $f_y(\theta, Y)$  から考察すると、 $g(\theta)$  を構成するある部分区間で最大値を与える点は、少なくとも  $A_j$  と  $B_i$  の凸包の対蹠点対（凸包上の2点に対して、その各点において平行な支持直線を持つとき、その2点を対蹠点対と呼ぶ）であることがいえる。よって、点集合  $S$  から  $A_j$  と  $B_i$  の総数である  $(m+n)$  個の点列において凸包を構成し、その凸包の内部に含まれる点を間引きし、その間引きされた点集合  $S'$  に対して4章の議論を適用して  $g(\theta)$  を最小化する。

しかし、この方法は全ての点列に対して凸包を構成しなければならず、一般に  $k$  点の凸包を求めるには  $O(k \log k)$  の手間がかかることから、結局  $O(n(m \log m) + m(n \log n)) = O(N \log N)$  の手間がかかる。また、間引きされた点集合  $S'$  に対して、その点の数だけ4章の手間がかかってしまい、余り効率が良くなかったとは言いがたい。

2) の場合、1) の場合でも述べたが  $g(\theta)$  を構成するある部分区間で最大値を与える点は、少なくとも  $A_j$  と  $B_i$  の凸包の対蹠点対である。この点を考慮して図6, 7をみると、 $X_{\max}(\theta)$  と  $X_{\min}(\theta)$  との差すなわち  $2g_x(\theta)$  と、 $Y_{\max}(\theta)$  と  $Y_{\min}(\theta)$  との差すなわち  $2g_y(\theta)$  が明かに増大するのは、図2から考えて  $\theta$  を変化したときの  $x(\theta)$  軸上での  $A_{j+1}$  の最小値と  $A_j$  の最大値との大小関係 ( $j=1, \dots, n-1$ ) と  $y(\theta)$  軸上での  $B_{i+1}$  の最小値と  $B_i$  の最大値との大小関係 ( $i=1, \dots, m-1$ ) が逆転したときである。このような観察が必ず成り立つのは、点集合の正方格子度が小さい場合であ

る。以下では正方格子度が1より小さいと仮定する。(もとの実際問題ではピングリッドアレイ型LSIのピンを点集合と見なしているので、ピンの配置が余りずれておらず、この仮定が満たされる)。このとき、容易にわかるように、 $A_j$ と $A_{j+1}$ の凸包、 $B_i$ と $B_{i+1}$ の凸包は交わらない( $i=1, \dots, m; j=1, \dots, n$ )。

$g(\theta)$ を最小化する $\theta$ の存在範囲は、 $2g_x(\theta)$ と $2g_y(\theta)$ が明かに増大している様な範囲に存在すると考えられず、この隣接する点列の凸包の大小関係が逆転する $\theta$ の範囲は除いて良いことになる。

よって、 $x(\theta)$ 軸上での $A_{j+1}$ の最小値と $A_j$ の最大値との大小関係(図8)、かつ $B_{i+1}$ の最小値と $B_i$ の最大値との大小関係が保たれている $\theta$ の範囲を検出して、その部分の範囲だけ $g(\theta)$ を構成し、最小化する $\theta$ を探索すれば良い( $i=1, \dots, m-1, j=1, \dots, n-1$ )。

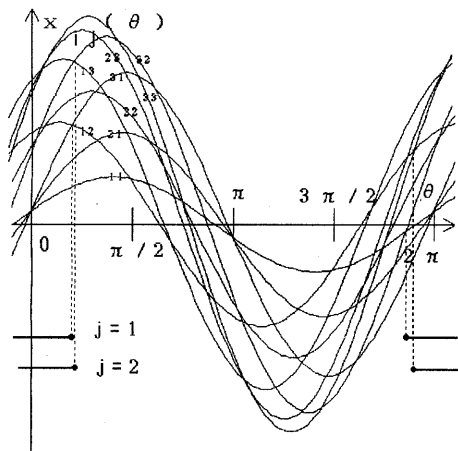


図 8.  $x(\theta)$ 軸上での $A_{j+1}$ の最小値と $A_j$ の最大値との大小関係が保持される $\theta$ の範囲( $j=1, 2$ )  
(ただし、グラフ内の2桁の数字は $x_{ij}(\theta)$ の $i, j$ を表している)

その $\theta$ の探索範囲を制限するためには、 $A_j$ に対して $2n$ 個の最大・最小値を与える関数を、 $B_i$ に対して $2m$ 個の最大・最小値を与える関数を求める、前章の議論より、1つの $A_j$ に対して $O(m \log m)$ の手間、1つの $B_i$ に対して $O(n \log n)$ の手間がかかり、全体として、 $O(n(m \log m) + m(n \log n)) = O(N \log N)$ の手間がかかってしまい、結局、1)の場合と同じ手間がかかってしまう。しかし、 $\theta$ の探索範囲を制限するのに全ての隣接する点列の最大・最小値を与える関数から大小関係を検出しなくとも、1組の隣接する点列の最大・最小値を与える関数の大小関係のみ検出する

だけで十分に定義域 $[0, 2\pi]$ を制限することは可能である。その最大・最小値を与える関数を求めることは前章の議論により $O(\sqrt{N} \log N)$ の手間、関数の大小関係が保たれる $\theta$ の範囲の検出に部分区間の総数の $O(\sqrt{N})$ の手間がかかる(ただし、ピングリッドアレイ型LSIの縦横のピンの数は等しいので、 $m=n=\sqrt{N}$ とされている)。

よって、計算複雑度としては1)の場合と2)の場合とも変わらないが、2)の場合の方が前処理として $\theta$ の探索範囲を制限した分、実際の計算時間としては短縮できる。

## 6. むすび

ほぼ正方格子点の近傍に存在する点集合に対して正方格子度を定義し、それを効率的に求めるアルゴリズムを与えた。このアルゴリズムは、ピングリッドアレイ型LSIを正方格子上に正方形のパタンが配列されている基板に表面実装する際の位置決めに利用できる。

今後の課題としては、LSIの実装問題で基板上のパタンが正方形でなく円形の場合やスルーホールの場合、すなわち正方格子度の定義でピンと正方格子点との距離をEuclid距離とした場合に対して効率的なアルゴリズムを構成することである。

## 謝辞

日頃から御助言、御討論頂いている九州大学工学部情報工学科上林彌彦教授ならびに研究室の皆様に深謝致します。本研究の一部は、(財)井上科学振興財团研究奨励金の援助を受けた。

## 参考文献

- [1] S. Hart and M. Sharir: Nonlinearity of Davenport-Schinzel Sequences and of Generalized Path Compression Schemes. Combinatorica, Vol. 6, No. 2 (1986), pp. 151-177.
- [2] 今井浩、炭野重雄、内藤史門: 点集合の正方格子度判定アルゴリズムについて. 情報処理学会第36回(昭和63年前期)全国大会講演論文集, pp. 63-64.
- [3] 内藤史門: 産業用ロボットへの視覚センサ応用. センサ技術, Vol. 7, No. 5 (1987), pp. 90-93.
- [4] 内藤史門: 小室明夫: 電子部品の位置計測アルゴリズム. 昭和60年電子学会全国大会講演論文集, 1428 (1985), p. 1821.
- [5] 内藤史門、森俊二、吉田誠: LSIマウンタの開発. 富士時報, Vol. 59, No. 12 (1986), pp. 763-767.

盛光印刷所